

宮崎大学 工学部 正 石黒政儀 増田純雄
学○砂田啓二 池田郁夫 大曲信一

1 はじめに 本論文では、宮崎市終末処理場に設置した直径2.0mの実規模回転円板装置による下水の硝化・脱窒・脱リンに関する実験結果および考察を、先に提示した固定生物膜による基質除去過程の定常状態における動力学式の検証をも加えて報告する。

2 実験装置と実験方法 実験装置のフローシートを図-1に示す。実験装置は好気硝化部4段(浸漬率約50%, 有効円板表面積28.3m²)と嫌気脱窒部2段(浸漬率100%, 有効円板表面積11.3m²)の接触槽で構成される。円板材質は耐水ベニヤ、円板直径2.0m、各段円板枚数9枚、厚さ1.0cm、円板間隔2.0cm、流向は中心軸に直角方向である。回転数2r.p.mとし円板表面に十分に菌が付着生育した後、宮崎市終末処理場の流入原水に塩化アンモニウムと重炭酸ナトリウムを添加し、アルカリ度200mg/lに設定しNH₃-N濃度を8.0~16.0mg/lと変化させて定常状態のもとで各段の諸水質を測定した。その間の水温は22°C~18°Cであった。なお、硝化部3段で硝化によるアルカリ度不足が起きたため3段に重炭酸ナトリウムを、脱窒菌の有機炭素源としてメタノールを嫌気槽に添加した。脱リン実験は硝化部1段に硫酸アルミニウムを添加することにより硝化に与える影響を調べるために硝化の実験と並行して行ない、リン酸濃度20mg/lとAl/Pを変化させ実験を行った。

3 実験結果と考察 3-1 硝化・脱窒 図-2に各段の水質変化の一例を示す。流入NH₃-Nはほぼ直線的に酸化され、NH₃-N負荷4.0~8.0mg/lで硝化率70~90%が得られた。工場廃水を用いた(BOD₅:150~200mg/l, NH₃-N負荷:1.8mg/l)回転円板法による処理で硝化率93%の報告がある。²⁾しかし、NH₃-N負荷が4.0~8.0mg/lで高硝化率が得られるのはBOD₅が20~30mg/lと低いめである。また、低BOD₅のために1段より硝化菌が優占種となった。硝酸も直線的に増加しNO₃-Nは硝化部4段で約60%となり嫌気槽ではなくて脱窒された。また、NO₂-Nの蓄積はいずれの段でもほとんど生じなかった。硝化部における脱窒現象(以下硝化部脱窒と呼ぶ)は各段において認められ硝化部全体として平均20%程度の脱窒率であつたが、筆者らが先に報告した硝化部脱窒の最適率は7%であるが、本実験では流入有機炭素濃度が47%と低く、ノルムが約0.4にもかかわらず硝化部脱窒が起こつた。これは、NH₃-N→NO₂-N→NO₃-N→N₂↑という過程をとらずに、NO₂-N→N₂↑という過程で脱窒されたと考えられる。システム全体のpHは6.5~7.5の範囲にあり、硝化部3段では重炭酸ナトリウムの添加によりpHが上昇した。DOは硝化部1段で1.5%, 4段で3.5%と上

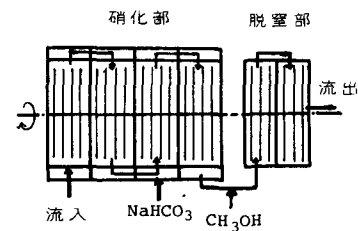


図-1 実験装置のフローシート

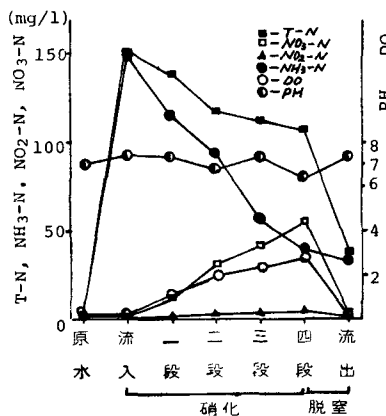


図-2 各段の水質変化

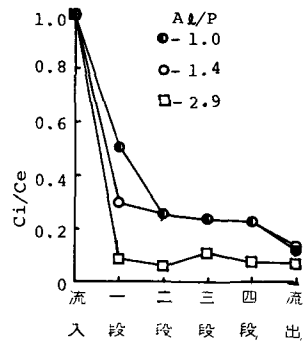


図-3 各段のリン残存率

昇し嫌気槽では0近くである。

3-2 脱リン 図-3は硝化部1段に硫酸アルミニウムを添加した場合の各段におけるリン残存率と各段のPO₄-P濃度を流入PO₄-P濃度で除した値)の変化を示したもの。Al/P = 1.0, 1.4, 2.9, でその他の4段流出濃度4.0%, 3.5%, 1.5%であり、全段におけるリン除去率(生物膜の吸着と沈殿によるリン除去率)は約88%, 90%, 94%となり、Al/Pが高いほど高いリン除去率を得ることができた。各段におけるリン除去率はAl/P = 1.0では1段で約50%, 2段で20%となり後段でわずかに増加した。Al/P = 1.4, 2.9ではリン除去率は1段で約70%, 90%に達し、後段ではAl/P = 1.4で、リン除去率はわずかに増加し、Al/P = 2.9では、ほとんど変化がなかった。PO₄-PとHCO₃⁻が共存する水に硫酸アルミニウムを添加すると、Al(SO₄)₂とHCO₃⁻が反応してAl(OH)₃を生ずる反応と、Al(SO₄)₂とPO₄³⁻が反応してAlPO₄を生ずる反応が競合して起こる。前者の反応によりpHは低下し、後者の反応はpHに敏感でありその最適pHは6付近である。⁴⁾したがって、pHの影響を調べるために、図-4にリン除去率とAl/Pの関係を示した。前者の反応の最適pHに近いpHが高いためリン除去率となつた。アルカリ度もリン除去に影響する因子と思われるが十分なデーターが得られなかつた。図-5に脱リンの実験経過日数と硝化率、リン除去率の関係を示す。Al/Pを2.8から5.6に上げると円板表面に白いAlPO₄とAl(OH)₃のフロッフが目立つて付着を始め、硝化率が低下した。Al/Pを1.8に下げると、硝化率は1.1回復したが再度低下を始めAl/Pを1.0にしても回復しなかつた。なお、リン除去率は80%以上であつた。この原因是、円板表面にフロッフが付着し、硝化菌層へ十分な酸素の供給が行はれなかつたためと考えられる。

3-3 定常動力学式の検証 図-6はCeが約30mg/l, 60mg/l, 90mg/lの時のAl₂とC₁/Ceの関係をプロットしたものである。いずれもAl₂ = 0でC₁/Ce = 1を通る直線となつた。この関係よりCeが等しいればC₁や硝化率に無関係に C₁/Ce = 1 + K*(A₂/Q)の式が成立する。図-7はK*とCeの関係を水温をパラメータとして両対数にプロットしたものである。図中の勾配はいずれもほぼ-1と等しくなつた。同一のCeに対して水温の低い方がK*も低い。以上のことにより、実規模回転円板でも固定生物膜による基質除去過程の定常動力学式の妥当性が証明された。

4 おりに 本装置における実験でもNH₃-N負荷4.0~8.0mg/d, 水量負荷5~7.63%/dの条件のもとに硝化率70~90%, 硝化部脱窒も各段で起り平均20%程度の硝化部脱窒率を得た。また、実規模回転円板においても定常動力学式の妥当性を証明することができた。脱リンはAl/Pが1.0~3.0のもので、流出水のPO₄-P濃度4%以下で約90%以上のリン除去率を得た。

参考文献 1) 渡辺ら; 回転円板法の浄化機構に関する研究(1) 下水道技術誌 15, No.12, 1978, 9, 2) 石黒, 小川ら; 回転円板法の理技術的研究セミナー(1979) 3) 石黒, 増田; 回転円板法による硝化部脱窒に関する研究 回転円板法研究シンポジウム講演集(1979) 4) 石黒ら; 回転円板法による下水高廃棄物処理に関する研究(IV) 下水道技術誌 16, No.10, 1979, 10

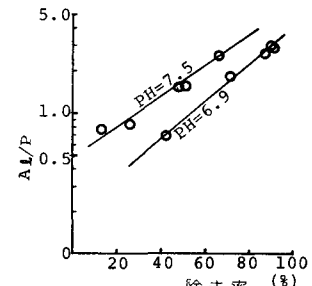


図-4 Al/Pとリン除去率の関係

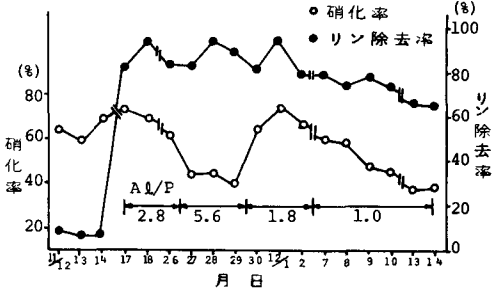


図-5 リン除去率と硝化率の変化

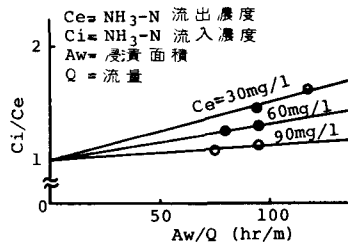


図-6 Ci/CeとAw/Qの関係

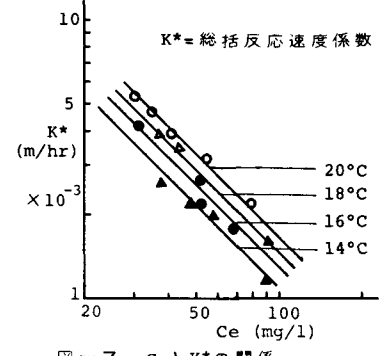


図-7 CeとK*の関係